

## **IMPLEMENTAZIONE DELLA DIRETTIVA 2000/60/CE**

### **ANALISI E VALUTAZIONE DEGLI ASPETTI MORFOLOGICI**

**ATTIVITA' 2017-2018**

**TORRENTE STRONA  
CI 06SS2D748PI**

*A cura della Struttura Monitoraggi e Studi Geologici*

**TRATTO**  
**06SS2D748PI\_1**

**Da inizio c.i.**  
**A confl. Rio Venalba**

Confinamento

NC: non confinato

C: confinato

Lunghezza (m) 1212  
Larghezza (m) 17.82  
Confinamento C  
Pendenza (%) 3.46  
Tipo CS

Tipo

CS: Canale singolo

CM/W: Canali multipli o wandering

Sintesi degli indici del tratto								
Funzionalità			Artificialità			Variazioni		
<b>F1</b>	Continuità longitudinale nel flusso di sedimenti e materiale legnoso	A	<b>A1</b>	Opere di alterazione delle portate liquide a monte	A	<b>V1</b>	Variazione della configurazione morfologica	-
<b>F2</b>	Presenza di piana inondabile	-	<b>A2</b>	Opere di alterazione delle solide a monte	B1	<b>V2</b>	Variazioni di larghezza	-
<b>F3</b>	Connessione tra versanti e corso d'acqua	C	<b>A3</b>	Opere di alterazione delle portate liquide nel tratto	A	<b>V3</b>	Variazioni altimetriche	-
<b>F4</b>	Processi di arretramento delle sponde	-	<b>A4</b>	Opere di alterazione delle portate solide nel tratto	A			
<b>F5</b>	Presenza di una fascia potenzialmente erodibile	-	<b>A5</b>	Opere di attraversamento	C			
<b>F6</b>	Morfologia del fondo e pendenza della valle	B	<b>A6</b>	Difese di sponda	C			
<b>F7</b>	Forme e processi tipici della configurazione morfologica	-	<b>A7</b>	Arginature	-			
<b>F8</b>	Presenza di forme tipiche di pianura	-	<b>A8</b>	Variazioni artificiali di tracciato	-			
<b>F9</b>	Variabilità della sezione	C	<b>A9</b>	Altre opere di consolidamento e/o di alterazione del substrato	B			
<b>F10</b>	Struttura del substrato	A	<b>A10</b>	Rimozione di sedimenti	A			
<b>F11</b>	Presenza di materiale legnoso di grandi dimensioni	C	<b>A11</b>	Rimozione di materiale legnoso	B			
<b>F12</b>	Ampiezza delle formazioni funzionali in fascia perifluviale	B	<b>A12</b>	Taglio della vegetazione in fascia perifluviale	B			
<b>F13</b>	Estensione lineare delle formazioni funzionali lungo le sponde	B						
IQM <sub>F</sub>			IQM <sub>A</sub>			IQM <sub>V</sub>		
0.16			0.32			0.00		
<b>IQM</b>			<b>CLASSE</b>					
<b>0.48</b>			<b>Scadente o Scarso</b>					



La direzione della valle, dopo la confluenza con il t. Poala, riprende l'orientazione NW-SE.

La sponda sinistra dell'alveo è caratterizzata dalla presenza dei muri dei fabbricati industriali, dalle difese spondali e dalla strada di fondovalle, mentre la sponda destra è addossata direttamente alle pendici del monte Rovella.

La presenza di difese spondali in sinistra (86.5% sulla lunghezza delle sponde, A6 in C) altera la variabilità della sezione del torrente (F9 in C).

La Diga di Camandona influisce sul

trasporto solido al fondo portando l'indicatore A2 in B1.  
L'IQM è pari a **0.48** corrispondente alla classe **SCARSO**.



Alveo a monte Botto Luigi (Studio Mello Rella & Associati)



Difese spondali in sinistra idrografica - Botto Luigi (Studio Mello Rella & Associati)



Muri in sponda sinistra - fabbricato Botto Luigi



Muri in sponda sinistra - fabbricato Botto Luigi

**TRATTO**  
**06SS2D748PI\_2**

**Da confl Venalba**  
**A loc. Zina**

Lunghezza (m) 2972  
Larghezza (m) 19.28  
Confinamento SC  
Pendenza (%) 1.95  
Tipologia S

*Confinamento*

NC: non confinato

C: confinato

*Tipologia alveo*

R= Rettilineo

S= Sinuoso

M= meandriforme

SBA= Sinuoso barre alternate

W= Wandering

CI= Canali intrecciati

A= Anabanching

Sintesi degli indici del tratto								
Funzionalità			Artificialità			Variazioni		
<b>F1</b>	Continuità longitudinale nel flusso di sedimenti e materiale legnoso	B	<b>A1</b>	Opere di alterazione delle portate liquide a monte	A	<b>V1</b>	Variazione della configurazione morfologica	-
<b>F2</b>	Presenza di piana inondabile	C	<b>A2</b>	Opere di alterazione delle solide a monte	B1	<b>V2</b>	Variazioni di larghezza	-
<b>F3</b>	Connessione tra versanti e corso d'acqua	-	<b>A3</b>	Opere di alterazione delle portate liquide nel tratto	A	<b>V3</b>	Variazioni altimetriche	-
<b>F4</b>	Processi di arretramento delle sponde	C	<b>A4</b>	Opere di alterazione delle portate solide nel tratto	A			
<b>F5</b>	Presenza di una fascia potenzialmente erodibile	C	<b>A5</b>	Opere di attraversamento	C			
<b>F6</b>	Morfologia del fondo e pendenza della valle	-	<b>A6</b>	Difese di sponda	C			
<b>F7</b>	Forme e processi tipici della configurazione morfologica	C	<b>A7</b>	Arginature	A			
<b>F8</b>	Presenza di forme tipiche di pianura	-	<b>A8</b>	Variazioni artificiali di tracciato	A			
<b>F9</b>	Variabilità della sezione	C	<b>A9</b>	Altre opere di consolidamento e/o di alterazione del substrato	B			
<b>F10</b>	Struttura del substrato	A	<b>A10</b>	Rimozione di sedimenti	A			
<b>F11</b>	Presenza di materiale legnoso di grandi dimensioni	C	<b>A11</b>	Rimozione di materiale legnoso	B			
<b>F12</b>	Ampiezza delle formazioni funzionali in fascia perfluviale	C	<b>A12</b>	Taglio della vegetazione in fascia perfluviale	A			
<b>F13</b>	Estensione lineare delle formazioni funzionali lungo le sponde	C						
IQM <sub>F</sub>			IQM <sub>A</sub>			IQM <sub>V</sub>		
0.07			0.48			0.00		
<b>IQM</b>			<b>CLASSE</b>					
<b>0.55</b>			<b>Moderato o Sufficiente</b>					



Nel tratto esaminato gli edifici produttivi sono presenti in modo pressoché continuo su entrambe le sponde con muri impostati in alveo, riducendo in modo significativo la sezione di deflusso.

Le sponde sono caratterizzate dalla presenza di opere di difesa di vario genere (A6 in C) che impediscono la mobilità laterale del corso d'acqua (F5 in C) fissando il tracciato dello stesso.

Tra le frazioni Campore e Zina, lo Strona è confinato tra gli stabilimenti industriali che lo hanno trasformato in uno stretto canale delimitato da muri (F7 in C).

Sulla pianura alluvionale la vegetazione (F12 e F13 in C) è assente per lasciare spazio a insediamenti produttivi e abitazioni.

L'**IQM** è pari a **0.57** corrispondente alla classe **SUFFICIENTE**.



Briglia poco a valle della confluenza con rio Venalba



Muri spondali



Sezione di deflusso del t. Strona ridotta dalla presenza dei fabbricati industriali



Lavori di ricostruzione difese spondali



Difese spondali a valle ponte in frazione Campore



Lavori di ricostruzione soglia a valle ponte in fraz. Campore



Alveo confinato tra i muri fabbricati industriali



Difese e muri spondali  
*(Studio Mello Rella & Associati)*



Ponte in fraz. Campore  
*(Studio Mello Rella & Associati)*



Alveo confinato tra i muri fabbricati industriale ex Albino Botto  
*(Studio Mello Rella & Associati)*

**TRATTO**  
**06SS2D748PI\_3**

**Da loc. Zina**  
**A Ponte Guelpa**

Confinamento

NC: non confinato

C: confinato

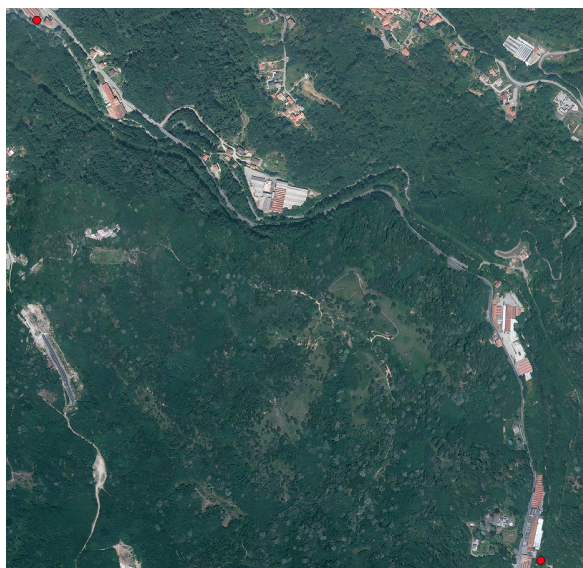
Lunghezza (m) 2735  
Larghezza (m) 13.7  
Confinamento C  
Pendenza (%) 2  
Tipo CS

Tipo

CS: Canale singolo

CM/W: Canali multipli o wandering

Sintesi degli indici del tratto								
Funzionalità			Artificialità			Variazioni		
<b>F1</b>	Continuità longitudinale nel flusso di sedimenti e materiale legnoso	B	<b>A1</b>	Opere di alterazione delle portate liquide a monte	A	<b>V1</b>	Variazione della configurazione morfologica	-
<b>F2</b>	Presenza di piana inondabile	-	<b>A2</b>	Opere di alterazione delle solide a monte	B1	<b>V2</b>	Variazioni di larghezza	-
<b>F3</b>	Connessione tra versanti e corso d'acqua	B	<b>A3</b>	Opere di alterazione delle portate liquide nel tratto	A	<b>V3</b>	Variazioni altimetriche	-
<b>F4</b>	Processi di arretramento delle sponde	-	<b>A4</b>	Opere di alterazione delle portate solide nel tratto	A			
<b>F5</b>	Presenza di una fascia potenzialmente erodibile	-	<b>A5</b>	Opere di attraversamento	B			
<b>F6</b>	Morfologia del fondo e pendenza della valle	A	<b>A6</b>	Difese di sponda	B			
<b>F7</b>	Forme e processi tipici della configurazione morfologica	-	<b>A7</b>	Arginature	-			
<b>F8</b>	Presenza di forme tipiche di pianura	-	<b>A8</b>	Variazioni artificiali di tracciato	-			
<b>F9</b>	Variabilità della sezione	A	<b>A9</b>	Altre opere di consolidamento e/o di alterazione del substrato	B			
<b>F10</b>	Struttura del substrato	A	<b>A10</b>	Rimozione di sedimenti	A			
<b>F11</b>	Presenza di materiale legnoso di grandi dimensioni	C	<b>A11</b>	Rimozione di materiale legnoso	B			
<b>F12</b>	Ampiezza delle formazioni funzionali in fascia perifluviale	B	<b>A12</b>	Taglio della vegetazione in fascia perifluviale	A			
<b>F13</b>	Estensione lineare delle formazioni funzionali lungo le sponde	A						
IQM <sub>F</sub>			IQM <sub>A</sub>			IQM <sub>V</sub>		
0.26			0.50			0.00		
<b>IQM</b>			<b>CLASSE</b>					
<b>0.76</b>			<b>Buono</b>					

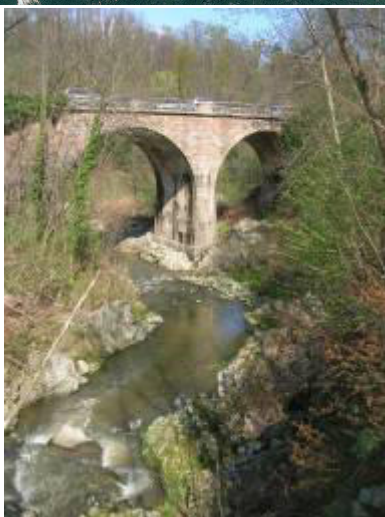


In questo tratto il torrente Strona, sino a valle del ponte per Crosa, è incassato nel fondovalle stretto ed eccezion fatta per alcuni edifici industriali conserva un buona naturalità.

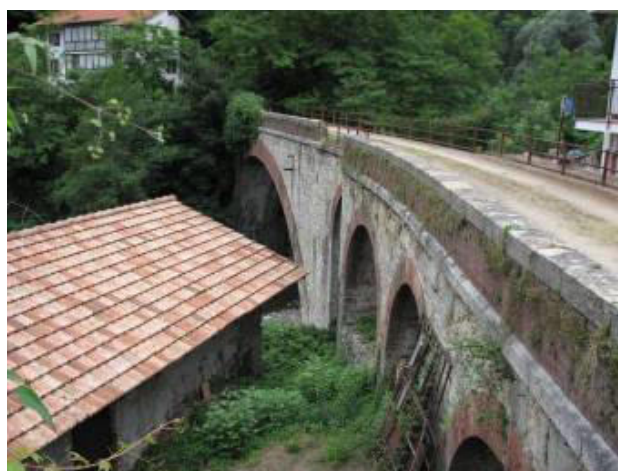
La strada di fondovalle Cossato-Vallemosso interrompe la continuità trasversale versante-torrente portando gli indicatori F3 e F12 in B.

Considerando l'artificialità, la criticità principale è rappresentata dalla Diga di Camandona e da alcuni ponti che interferiscono con il corridoio fluviale (A5 in B).

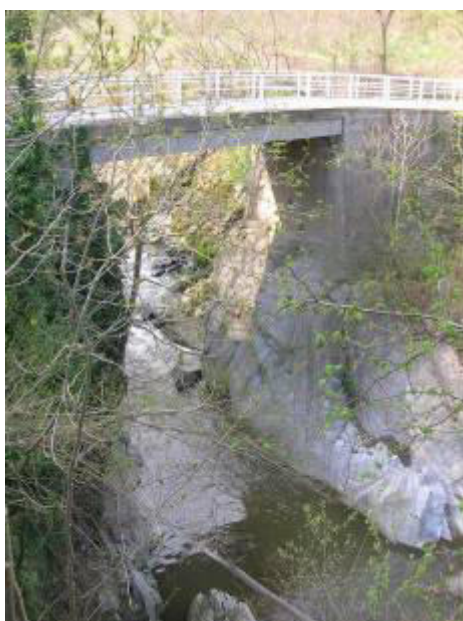
L'IQM è pari a **0.76** corrispondente alla classe **BUONO**.



Ponte SS Cossato Vallemosso (Studio Mello Rella & Associati)



Ponte ex-ferrovia Valle San Nicolao - Strona in fraz. Molinetti



Ponte per Crosa (Studio Mello Rella & Associati)



Alveo a valle ponte per Crosa (Studio Mello Rella & Associati)

**TRATTO**  
**06SS2D748PI\_4**

**Da Ponte Guelpa**  
**A loc. Castellazzo-Cossato**

Confinamento

NC: non confinato

C: confinato

Lunghezza (m) 2652

Larghezza (m) 12.9

Confinamento C

Pendenza (%) 1.5

Tipo CS

Tipo

CS: Canale singolo

CM/W: Canali multipli o wandering

Sintesi degli indici del tratto								
Funzionalità			Artificialità			Variazioni		
<b>F1</b>	Continuità longitudinale nel flusso di sedimenti e materiale legnoso	B	<b>A1</b>	Opere di alterazione delle portate liquide a monte	A	<b>V1</b>	Variazione della configurazione morfologica	-
<b>F2</b>	Presenza di piana inondabile	-	<b>A2</b>	Opere di alterazione delle solide a monte	B1	<b>V2</b>	Variazioni di larghezza	-
<b>F3</b>	Connessione tra versanti e corso d'acqua	B	<b>A3</b>	Opere di alterazione delle portate liquide nel tratto	A	<b>V3</b>	Variazioni altimetriche	-
<b>F4</b>	Processi di arretramento delle sponde	-	<b>A4</b>	Opere di alterazione delle portate solide nel tratto	A			
<b>F5</b>	Presenza di una fascia potenzialmente erodibile	-	<b>A5</b>	Opere di attraversamento	B			
<b>F6</b>	Morfologia del fondo e pendenza della valle	A	<b>A6</b>	Difese di sponda	B			
<b>F7</b>	Forme e processi tipici della configurazione morfologica	-	<b>A7</b>	Arginature	-			
<b>F8</b>	Presenza di forme tipiche di pianura	-	<b>A8</b>	Variazioni artificiali di tracciato	-			
<b>F9</b>	Variabilità della sezione	B	<b>A9</b>	Altre opere di consolidamento e/o di alterazione del substrato	B			
<b>F10</b>	Struttura del substrato	A	<b>A10</b>	Rimozione di sedimenti	A			
<b>F11</b>	Presenza di materiale legnoso di grandi dimensioni	C	<b>A11</b>	Rimozione di materiale legnoso	B			
<b>F12</b>	Ampiezza delle formazioni funzionali in fascia perifluviale	B	<b>A12</b>	Taglio della vegetazione in fascia perifluviale	B			
<b>F13</b>	Estensione lineare delle formazioni funzionali lungo le sponde	B						
IQM <sub>F</sub>			IQM <sub>A</sub>			IQM <sub>V</sub>		
0.20			0.48			0.00		
<b>IQM</b>			<b>CLASSE</b>					
<b>0.68</b>			<b>Moderato o Sufficiente</b>					



Il corso d'acqua è inciso ma scorre in un fondovalle più aperto e caratterizzato da terrazzi alluvionali.

Gli insediamenti industriali che sorgono direttamente sulle sponde del torrente (A6 in B) ne modificano fortemente la morfologia (F9 in B).

La Diga di Camandona, come per i tratti precedenti, influisce sull'alterazione delle portate solide.

L'**IQM** nel complesso ha un valore pari a **0.68** corrispondente alla classe **SUFFICIENTE**.



Alveo a monte del ponte di via Francesco Cesone



Ponte via Francesco Cesone (Studio Mello Rella & Associati)

**TRATTO**  
**06SS2D748PI\_5**

**Da Castellazzo-Cossato**  
**A confl. Quargnasca**

Lunghezza (m) 2845  
Larghezza (m) 27.3  
Confinamento NC  
Pendenza (%) 1.05  
Tipologia S

*Confinamento*

NC: non confinato

C: confinato

*Tipologia alveo*

R= Rettilineo

S= Sinuoso

M= meandriforme

SBA= Sinuoso barre alternate

W= Wandering

CI= Canali intrecciati

A= Anabanching

Sintesi degli indici del tratto								
Funzionalità			Artificialità			Variazioni		
<b>F1</b>	Continuità longitudinale nel flusso di sedimenti e materiale legnoso	B	<b>A1</b>	Opere di alterazione delle portate liquide a monte	A	<b>V1</b>	Variazione della configurazione morfologica	-
<b>F2</b>	Presenza di piana inondabile	C	<b>A2</b>	Opere di alterazione delle solide a monte	B1	<b>V2</b>	Variazioni di larghezza	-
<b>F3</b>	Connessione tra versanti e corso d'acqua	-	<b>A3</b>	Opere di alterazione delle portate liquide nel tratto	A	<b>V3</b>	Variazioni altimetriche	-
<b>F4</b>	Processi di arretramento delle sponde	C	<b>A4</b>	Opere di alterazione delle portate solide nel tratto	A			
<b>F5</b>	Presenza di una fascia potenzialmente erodibile	C	<b>A5</b>	Opere di attraversamento	B			
<b>F6</b>	Morfologia del fondo e pendenza della valle	-	<b>A6</b>	Difese di sponda	C			
<b>F7</b>	Forme e processi tipici della configurazione morfologica	B	<b>A7</b>	Arginature	B			
<b>F8</b>	Presenza di forme tipiche di pianura	-	<b>A8</b>	Variazioni artificiali di tracciato	A			
<b>F9</b>	Variabilità della sezione	C	<b>A9</b>	Altre opere di consolidamento e/o di alterazione del substrato	B			
<b>F10</b>	Struttura del substrato	A	<b>A10</b>	Rimozione di sedimenti	A			
<b>F11</b>	Presenza di materiale legnoso di grandi dimensioni	C	<b>A11</b>	Rimozione di materiale legnoso	B			
<b>F12</b>	Ampiezza delle formazioni funzionali in fascia perifluviale	C	<b>A12</b>	Taglio della vegetazione in fascia perifluviale	B			
<b>F13</b>	Estensione lineare delle formazioni funzionali lungo le sponde	C						
IQM <sub>F</sub>			IQM <sub>A</sub>			IQM <sub>V</sub>		
0.09			0.44			0.00		
<b>IQM</b>			<b>CLASSE</b>					
<b>0.53</b>			<b>Moderato o Sufficiente</b>					



Il t. Strona passa da una situazione valliva ad un ambito di pianura; inizialmente scorre, compiendo ampie anse, quasi totalmente regimato artificialmente fra muri di sponda, fabbricati industriali e argini

A valle del ponte di via Mazzini l'alveo del corso d'acqua si allarga, la pendenza media del fondo diminuisce e solamente la sponda destra è interessata da edificazioni.

Come per i tratti precedenti la presenza della Diga di Camandona, posta a monte del bacino sotteso dal tratto, influisce ancora sulle portate solide.

Il valore **IQM** per questo tratto è pari a **0.53** corrispondente alla classe **SUFFICIENTE**.



Guado strada vicinale Vandala a Cossato (Studio Mello Rella & Associati)



Difesa spondale in destra idrografica



Ponte ferroviario BI-NO a Cossato (Studio Mello Rella & Associati)



Argine nei pressi ansa torrente campo sportivo



Alveo a valle stabilimento Gaudino



Traversa di derivazione per uso agricolo



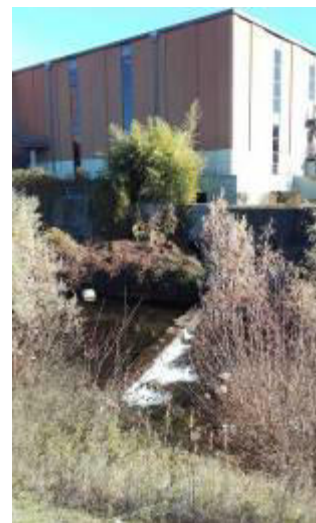
Difesa spondale in destra a valle ponte via Mazzini



Argine in sponda sinistra a monte ponte via Mazzini



Soglia e argine in sinistra idrografica



Soglia e difesa spondale nei pressi mercato coperto di Cossato

**TRATTO**  
**06SS2D748PI\_6**

**Da 0**  
**A Confl.T.Cervo**

Lunghezza (m) 4696  
Larghezza (m) 45.5  
Confinamento NC  
Pendenza (%) 0.74  
Tipologia S

*Confinamento*

NC: non confinato

C: confinato

*Tipologia alveo*

R= Rettilineo

S= Sinuoso

M= meandriforme

SBA= Sinuoso barre alternate

W= Wandering

CI= Canali intrecciati

A= Anabanching

Sintesi degli indici del tratto								
Funzionalità			Artificialità			Variazioni		
<b>F1</b>	Continuità longitudinale nel flusso di sedimenti e materiale legnoso	B	<b>A1</b>	Opere di alterazione delle portate liquide a monte	A	<b>V1</b>	Variazione della configurazione morfologica	A
<b>F2</b>	Presenza di piana inondabile	B	<b>A2</b>	Opere di alterazione delle solide a monte	B1	<b>V2</b>	Variazioni di larghezza	B
<b>F3</b>	Connessione tra versanti e corso d'acqua	-	<b>A3</b>	Opere di alterazione delle portate liquide nel tratto	A	<b>V3</b>	Variazioni altimetriche	B
<b>F4</b>	Processi di arretramento delle sponde	A	<b>A4</b>	Opere di alterazione delle portate solide nel tratto	B			
<b>F5</b>	Presenza di una fascia potenzialmente erodibile	B	<b>A5</b>	Opere di attraversamento	B			
<b>F6</b>	Morfologia del fondo e pendenza della valle	-	<b>A6</b>	Difese di sponda	B			
<b>F7</b>	Forme e processi tipici della configurazione morfologica	C	<b>A7</b>	Arginature	B			
<b>F8</b>	Presenza di forme tipiche di pianura	-	<b>A8</b>	Variazioni artificiali di tracciato	B			
<b>F9</b>	Variabilità della sezione	C	<b>A9</b>	Altre opere di consolidamento e/o di alterazione del substrato	C1			
<b>F10</b>	Struttura del substrato	A	<b>A10</b>	Rimozione di sedimenti	B			
<b>F11</b>	Presenza di materiale legnoso di grandi dimensioni	C	<b>A11</b>	Rimozione di materiale legnoso	B			
<b>F12</b>	Ampiezza delle formazioni funzionali in fascia perifluviale	C	<b>A12</b>	Taglio della vegetazione in fascia perifluviale	B			
<b>F13</b>	Estensione lineare delle formazioni funzionali lungo le sponde	B						
IQM <sub>F</sub>			IQM <sub>A</sub>			IQM <sub>V</sub>		
0.12			0.30			0.12		
<b>IQM</b>			<b>CLASSE</b>					
<b>0.54</b>			<b>Moderato o Sufficiente</b>					



Il tratto in esame inizia dalla confluenza del t. Quarnasca nello Strona e termina alla confluenza con il T. Cervo.

Fino alla frazione Spolina di Cossato le edificazioni interessano le aree in sola sponda destra mentre i terreni in sinistra sono liberi da ogni insediamento urbano; di conseguenza la sponda destra presenta più opere difensive mentre quella sinistra alcuni rilevati arginali.

A valle della frazione Spolina il corso d'acqua scorre tra terreni agricoli e aree boscate, libero di divagare in assenza di opere di difesa. Rispetto agli anni '50 si sono rilevate moderate variazioni di larghezza e altimetriche.

Come per i tratti precedenti la presenza della Diga di Camandona, posta a monte del bacino sotteso dal tratto, influisce

ancora sulle portate solide.

L'IQM è pari a **0.54** corrispondente alla classe **SUFFICIENTE**.



Muri in sponda sinistra - fabbricato Botto Luigi



Guado della Spolina



Alveo a valle guado della Spolina



Ponte SR 12 superstrada (Studio Mello Rella & Associati)

## Considerazioni conclusive e calcolo dell'IQM

Di seguito vengono riportati gli indicatori di funzionalità, artificialità dei tratti in cui è stato suddiviso il corpo idrico. Gli indicatori di variazioni morfologiche non sono stati applicati avendo il corso d'acqua una larghezza media inferiore ai 30 metri.

Indicatori di FUNZIONALITA' dei tratti		1	2	3	4	5	6
F1	Continuità longitudinale nel flusso di sedimenti e materiale legnoso	A	B	B	B	B	B
F2	Presenza di piana inondabile	-	C	-	-	C	B
F3	Connessione tra versanti e corso d'acqua	C	-	B	B	-	-
F4	Processi di arretramento delle sponde	-	C	-	-	C	A
F5	Presenza di una fascia potenzialmente erodibile	-	C	-	-	C	B
F6	Morfologia del fondo e pendenza della valle	B	-	A	A	-	-
F7	Forme e processi tipici della configurazione morfologica	-	C	-	-	B	C
F8	Presenza di forme tipiche di pianura	-	-	-	-	-	-
F9	Variabilità della sezione	C	C	A	B	C	C
F10	Struttura del substrato	A	A	A	A	A	A
F11	Presenza di materiale legnoso di grandi dimensioni	C	C	C	C	C	C
F12	Ampiezza delle formazioni funzionali in fascia perifluviale	B	C	B	B	C	C
F13	Estensione lineare delle formazioni funzionali lungo le sponde	B	C	A	B	C	B
Indicatori di ARTIFICIALITA' dei tratti		1	2	3	4	5	6
A1	Opere di alterazione delle portate liquide a monte	A	A	A	A	A	A
A2	Opere di alterazione delle solide a monte	B1	B1	B1	B1	B1	B1
A3	Opere di alterazione delle portate liquide nel tratto	A	A	A	A	A	A
A4	Opere di alterazione delle portate solide nel tratto	A	A	A	A	A	B
A5	Opere di attraversamento	C	C	B	B	B	B
A6	Difese di sponda	C	C	B	B	C	B
A7	Arginature	-	A	-	-	B	B
A8	Variazioni artificiali di tracciato	-	A	-	-	A	B
A9	Altre opere di consolidamento e/o di alterazione del substrato	B	B	B	B	B	C1
A10	Rimozione di sedimenti	A	A	A	A	A	B
A11	Rimozione di materiale legnoso	B	B	B	B	B	B
A12	Taglio della vegetazione in fascia perifluviale	B	A	A	B	B	B
Indicatori di VARIAZIONI MORFOLOGICHE dei tratti		1	2	3	4	5	6
V1	Variazione della configurazione morfologica	-	-	-	-	-	A
V2	Variazioni di larghezza	-	-	-	-	-	B
V3	Variazioni altimetriche	-	-	-	-	-	B

